

**Всероссийский (третий) этап Всероссийской олимпиады
студентов по теоретической механике**

**Казань, Казанский государственный
энергетический университет
20-24 ноября 2017 г.**

Решения задач теоретического конкурса

Автор задач:

доцент кафедры ТМ и СМ КНИТУ Муштари Айрат Ильдарович

Рецензент:

доцент кафедры АГД К(П)ФУ Марданов Ренат Фаритович

Согласовано:

председатель жюри олимпиады, профессор кафедры ТМ
НГАСУ (Сибстрин) Юдин Владимир Алексеевич

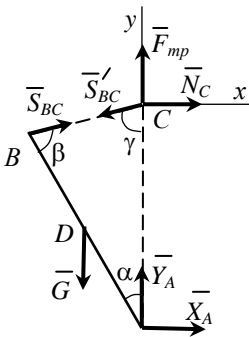


Рис. 1

Решение задачи С1.

Обозначим силу реакции невесомого стержня BC через \bar{S}_{BC} (рис.1). Сила тяжести \bar{G} однородного стержня AB приложена к его середине D . Для AB достаточно записать лишь одно из трех уравнений равновесия:

$$\sum_k M_A(\bar{F}_k) = -S_{BC} \cdot AB \sin \beta + G \cdot (AB/2) \sin \alpha = 0.$$

Учтя здесь $\beta = \pi - \alpha - \gamma$, $\sin \beta = \sin(\alpha + \gamma)$, получим:

$$S_{BC} = \frac{mg \sin \alpha}{2 \sin(\alpha + \gamma)}. \quad (1)$$

Условия равновесия ползуна C :

$$\sum_k F_{kx} = N_C - S'_{BC} \sin \gamma = 0.$$

$$\sum_k F_{ky} = F_{mp} - S_{BC}' \cos \gamma = 0.$$

Отсюда с учетом закона Кулона $F_{mp} \leq f N_C$ получим:
 $S_{BC} \cos \gamma \leq f S_{BC} \sin \gamma$, откуда

$$\operatorname{ctg} \gamma \leq f. \quad (2)$$

В выражении (1) значение S_{BC} минимально, если $\sin(\alpha + \gamma) = 1$.
 При этом $\alpha + \gamma = \pi/2$, откуда

$$\gamma = (\pi/2) - \alpha. \quad (3)$$

Если при значении γ из (3) выполняется условие равновесия (2), то есть, если $\operatorname{ctg}((\pi/2) - \alpha) \leq f$, $\operatorname{tg} \alpha \leq f$, то (3) является искомым значением γ . При этом из (1) получим значение минимальной силы реакции:

$$S_{BC} = \frac{mg \sin \alpha}{2}.$$

При значении γ из (3) условие (2) не выполняется, если $\operatorname{tg} \alpha > f$. Тогда, так как функция $\operatorname{ctg} \gamma$ убывает в интервале $(0; \pi)$, значение γ нужно увеличивать до тех пор, пока (2) не начнет выполняться. (Это будет соответствовать максимально возможному значению $\sin(\alpha + \gamma)$, то есть минимально возможному значению S_{BC} при условии равновесия конструкции.) При этом будет $\operatorname{ctg} \gamma = f$, т.е. $\gamma = \operatorname{arccot} f$. Тогда, используя основное тригонометрическое тождество, несложно

получить: $\cos \gamma = \frac{f}{\sqrt{1+f^2}}$, $\sin \gamma = \frac{1}{\sqrt{1+f^2}}$. Учтем это в (1):

$$\begin{aligned} S_{BC} &= \frac{mg \sin \alpha}{2 \sin(\alpha + \gamma)} = \frac{mg \sin \alpha}{2(\sin \alpha \cos \gamma + \cos \alpha \sin \gamma)} = \\ &= \frac{mg \sin \alpha \sqrt{1+f^2}}{2(f \sin \alpha + \cos \alpha)} = \frac{mg \sqrt{1+f^2}}{2(f + \operatorname{ctg} \alpha)} \end{aligned}$$

Замечание 1. Можно было рассуждать так. Плечо силы \bar{S}_{BC} относительно точки A максимально, когда $BC \perp AB$. В этом случае

$\gamma = (\pi/2) - \alpha$. Тогда выражение для S_{BC} минимально, так как слагаемое $G \cdot (AB/2) \sin \alpha$ в (1) имеет фиксированную величину.

Замечание 2. Система сил, приложенных к AB , не является системой сходящихся сил. Запись уравнений равновесия $\sum_i F_{ix} = 0$, $\sum_i F_{iy} = 0$ не приводит к решению и лишена смысла. Ведь, помимо неизвестной S_{BC} , в каждом из них присутствует по одной неизвестной реакции шарнира A . Записывание уравнений, содержащих «лишние» неизвестные реакции, ничего не дает для решения задачи и приводит лишь к дополнительному расходу времени.

Ответ. При $\operatorname{tg} \alpha \leq f$ $\gamma = (\pi/2) - \alpha$, $S_{BC} = \frac{mg \sin \alpha}{2}$. При $\operatorname{tg} \alpha > f$

$$\gamma = \operatorname{arctg} f, \quad S_{BC} = \frac{mg \sqrt{1+f^2}}{2(f + \operatorname{ctg} \alpha)}.$$

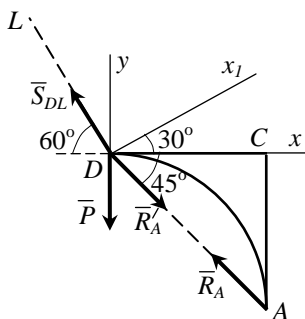


Рис. 2

Решение задачи C2.

1). *1 способ.* Уравнение равновесия пластины $\sum_k M_D(\vec{F}_k) = 0$ имеет вид (рис. 2):

$$M_D(\vec{R}_A) = 0.$$

Значит, линия действия реакции шарнира \vec{R}_A проходит через D . Спроецируем силы, приложенные к точке D , на наклонную ось x_1 :

$$\sum_k F_{kx_1} = -P \cos 60^\circ + R_A \cos 75^\circ = 0.$$

$$\cos 75^\circ = \sqrt{\frac{1 + \cos 150^\circ}{2}} = \sqrt{\frac{1 - \frac{\sqrt{3}}{2}}{2}} = \frac{\sqrt{2 - \sqrt{3}}}{2}.$$

$$R_A = \frac{P}{\sqrt{2 - \sqrt{3}}}.$$

Если учесть, что

$$\frac{1}{\sqrt{2 - \sqrt{3}}} = \frac{\sqrt{2}}{\sqrt{4 - 2\sqrt{3}}} = \frac{\sqrt{2}}{\sqrt{3} - 1},$$

получим ответ в другом виде:

$$R_A = \frac{\sqrt{2}}{\sqrt{3} - 1} P.$$

2 способ. При проецировании на оси x , y :

$$\sum_k F_{kx} = -S_{DL} \cos 60^\circ + R_A \cos 45^\circ = 0.$$

$$\sum_k F_{ky} = S_{DL} \sin 60^\circ - R_A \sin 45^\circ - P = 0.$$

$$S_{DL} = \sqrt{2} R_A.$$

$$R_A = \frac{\sqrt{2}}{\sqrt{3} - 1} P.$$

3 способ. Если рассматривать составляющие \bar{X}_A, \bar{Y}_A реакции шарнира A , вводя их вдоль положительных направлений осей x , y , получим уравнения равновесия всей пластины:

$$\sum_k F_{kx} = X_A - S_{DL} \cos 60^\circ = 0.$$

$$\sum_k F_{ky} = Y_A + S_{DL} \sin 60^\circ - P = 0.$$

$$\sum_k M_A(\bar{F}_k) = S_{DL} \cos 60^\circ \cdot R - S_{DL} \sin 60^\circ \cdot R + P \cdot R = 0.$$

$$S_{DL} = \frac{2P}{\sqrt{3} - 1}.$$

$$X_A = \frac{P}{\sqrt{3}-1}.$$

$$Y_A = -\frac{P}{\sqrt{3}-1}.$$

$$R_A = \sqrt{X_A^2 + Y_A^2} = \frac{\sqrt{2}}{\sqrt{3}-1} P.$$

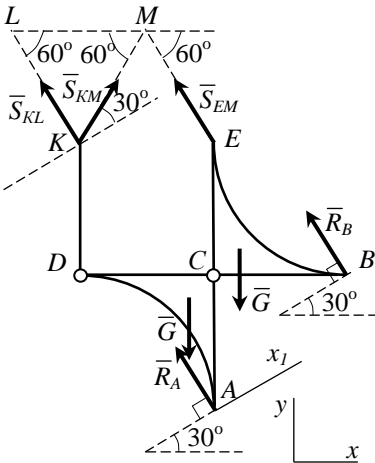


Рис. 3

2). 1 способ. Площадь поверхности и сила тяжести для каждой из пластин (рис. 3):

$$S = R^2 - \frac{1}{4} \pi R^2 = \left(1 - \frac{\pi}{4}\right) R^2.$$

$$G = mg = \rho S g = \rho \left(1 - \frac{\pi}{4}\right) R^2 g. \quad (1)$$

Уравнение равновесия системы двух пластин вместе со стержнем KD при проецировании на наклонную ось x_1 :

$$\sum_k F_{kx_1} = -2G \cos 60^\circ + S_{KM} \cos 30^\circ = 0.$$

$$S_{KM} = \frac{2}{\sqrt{3}} G. \quad (2)$$

При равновесии системы сходящихся сил, приложенных к точке K , а именно \bar{S}_{KL} , \bar{S}_{KM} , \bar{S}_{KD} (последняя направлена вдоль KD , на рисунке не указана) с учетом (2) и (1):

$$\sum_k F_{kx} = -S_{KL} \cos 60^\circ + S_{KM} \cos 60^\circ = 0.$$

$$S_{KL} = S_{KM}.$$

$$S_{KL} = \frac{2}{\sqrt{3}} \rho \left(1 - \frac{\pi}{4}\right) R^2 g = \frac{4 - \pi}{2\sqrt{3}} \rho R^2 g.$$

2 способ. В рамках принципа освобождаемости от связей

освободим систему от связи KL , введя силу реакции этой связи \bar{S}_{KL} , и применим принцип возможных перемещений (рис. 4).

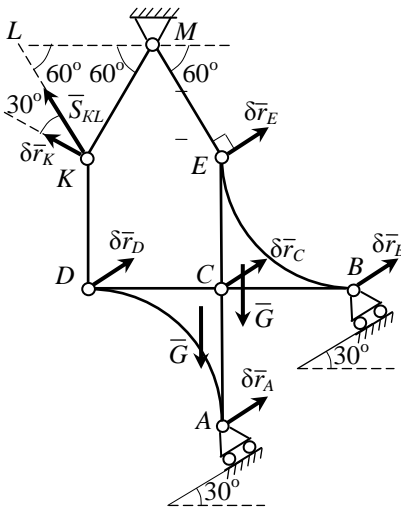


Рис. 4

Выберем направление возможного перемещения $\delta \bar{r}_E$, перпендикулярного EM . Так как направление $\delta \bar{r}_B$ вдоль опорной плоскости подвижного шарнира B параллельно $\delta \bar{r}_E$, а перпендикуляры к этим векторам не совпадают, то пластина BCE совершает возможное мгновенное поступательное движение и $\delta \bar{r}_B = \delta \bar{r}_E$. Тогда и $\delta \bar{r}_C = \delta \bar{r}_E$. Аналогично получим для пластины ACD : $\delta \bar{r}_A = \delta \bar{r}_C$, тогда $\delta \bar{r}_D = \delta \bar{r}_C$, то есть $\delta \bar{r}_D = \delta \bar{r}_E$. Обозначим величину возможного перемещения центра тяжести каждой из двух пластин

через $\delta s_{у.м.п.}$. Тогда $\delta s_{у.м.п.} = \delta s_E$.

Возможное перемещение $\delta \bar{r}_K$ перпендикулярно KM . При возможном плоскопараллельном движении KD по аналогу теоремы о проекциях скоростей:

$$\delta s_K \cos 60^\circ = \delta s_D \cos 60^\circ.$$

$$\delta s_K = \delta s_D.$$

Таким образом, $\delta s_K = \delta s_E$.

Запишем уравнение принципа возможных перемещений:

$$\sum_k \delta A_{F_k} = 0.$$

$$S_{KL} \delta s_K \cos 30^\circ - 2G \delta s_{у.м.п.} \cos 60^\circ = 0.$$

$$S_{KL} \cdot \frac{\sqrt{3}}{2} - 2G \cdot \frac{1}{2} = 0.$$

$$S_{KL} = \frac{2G}{\sqrt{3}},$$

где G получено в (1).

3 способ. Кратко приведем нерациональный способ решения. Обозначим через a одну из координат центра тяжести одной пластины относительно центра дуги окружности пластины.

$$a = \frac{1}{M} \iint_S \rho x \, dx dy = \frac{1}{S} \int_0^R \int_{\sqrt{R^2-x^2}}^R x \, dx dy = \frac{1}{2S} \int_0^R y^2 dy = \frac{2}{3(4-\pi)} R.$$

(Отметим, что в расчетах использовать это выражение нет необходимости, так как a в итоге сокращается.)

Уравнения равновесия пластины ACD :

$$\sum_k F_{kx} = -R_A \cos 60^\circ + X_C = 0.$$

$$\sum_k F_{ky} = S_{DK} + Y_C + R_A \sin 60^\circ - G = 0.$$

$$\sum_k M_C(\bar{F}_k) = -S_{DK} \cdot R + G \cdot (R - a) - R_A \cos 60^\circ \cdot R = 0$$

Уравнение равновесия пластины BCE в проекции на ось x_1 :

$$\sum_k F_{kx_1} = -X_C \cos 30^\circ - Y_C \cos 60^\circ - G \cos 60^\circ = 0.$$

Из этой системы можно получить следующие величины:

$$S_{DK} = 2G.$$

$$R_A = -\frac{2(R+a)}{R} G.$$

$$Y_C = \left(\frac{\sqrt{3}(R+a)}{R} - 1 \right) G.$$

$$X_C = -\frac{R+a}{R} G.$$

Уравнение равновесии системы сил, приложенных к точке K , в

проекции на ось, перпендикулярную KM :

$$\sum_k F_{kx_2} = -S_{KL} \cos 30^\circ + S_{DK} \cos 60^\circ = 0.$$

$$S_{KL} = \frac{S_{DK}}{\sqrt{3}} = \frac{2}{\sqrt{3}} G.$$

Ответ. 1). $R_A = \frac{\sqrt{2}}{\sqrt{3}-1} P$. 2). $S_{KL} = \frac{4-\pi}{2\sqrt{3}} \rho R^2 g$.

Решение задачи К1.

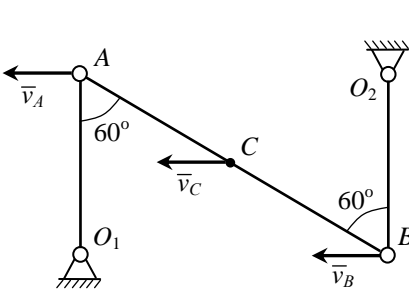


Рис. 5

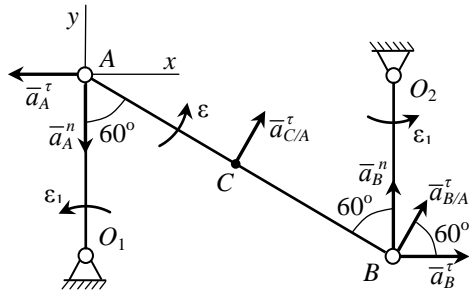


Рис. 6

Скорости точек A и B перпендикулярны O_1A и O_2B , соответственно, и оказываются сонаправленными, например, направлены влево (рис. 5). Звено AB совершает мгновенное поступательное движение. При этом $\omega_{AB} = 0$ и $v_A = v_B = v_C$, а значит, с учетом $O_1A = O_2B$:

$$\omega_{O_1A} = \omega_{O_2B} = \omega. \tag{1}$$

При плоскопараллельном движении AB (рис. 6):

$$\vec{a}_B = \vec{a}_A + \vec{a}_{B/A}.$$

Так как $a_{B/A}^n = AB \cdot \omega_{AB}^2 = 0$, то получим:

$$\bar{a}_B^\tau + \bar{a}_B^n = \bar{a}_A^\tau + \bar{a}_A^n + \bar{a}_{B/A}^\tau. \quad (2)$$

На рисунке направления \bar{a}_A^τ , \bar{a}_B^τ , $\bar{a}_{B/A}^\tau$ пока выбраны предположительно (каждое в одном из двух возможных направлений).

Проецируем (2) на ось y :

$$a_B^n = -a_A^n + a_{B/A}^\tau \sin 60^\circ.$$

С учетом $a_A^n = a_B^n = l\omega^2 = v_A^2/l$, $a_{B/A}^\tau = AB \cdot \varepsilon = 2l\varepsilon$ получим:

$$2a_A^n = 2l\varepsilon \cdot \frac{\sqrt{3}}{2}.$$

$$\frac{v_A^2}{l} = \frac{\sqrt{3}}{2} l\varepsilon. \quad (3)$$

Так как отсюда $\varepsilon > 0$, то его направление на рисунке было выбрано верно. Из (3) с учетом $v_C = v_A$:

$$v_C = l \sqrt{\frac{\sqrt{3}}{2} \varepsilon}.$$

Далее, проецируем (2) на ось x :

$$a_{B,x}^\tau = a_{A,x}^\tau + a_{B/A}^\tau \cdot \frac{1}{2}. \quad (4)$$

Так как $a_{B/A}^\tau > 0$, то должно выполняться

$$a_{B,x}^\tau - a_{A,x}^\tau > 0. \quad (5)$$

Так как угловые ускорения O_1A и O_2B равны по величине (на рисунке обозначены через ε_1) и $O_1A = O_2B$, то $a_B^\tau = a_A^\tau$. Поэтому (4) возможно лишь, если $a_{B,x}^\tau > 0$, $a_{A,x}^\tau < 0$. Значит, на рисунке направления \bar{a}_A^τ , \bar{a}_B^τ были выбраны верно. Тогда из (4):

$$a_A^\tau = \frac{1}{4} a_{B/A}^\tau = \frac{2l\varepsilon}{4} = \frac{l\varepsilon}{2}. \quad (6)$$

Для точки C :

$$\bar{a}_C = \bar{a}_A^\tau + \bar{a}_A^n + \bar{a}_{C/A}^\tau. \quad (7)$$

$$a_{C/A}^\tau = AC \cdot \varepsilon = l\varepsilon.$$

$$a_{Cx} = -a_A^{\tau} + a_{C/A}^{\tau} \cos 60^{\circ} = -\frac{l\varepsilon}{2} + \frac{l\varepsilon}{2} = 0.$$

$$a_{Cy} = -a_A^n + a_{C/A}^{\tau} \sin 60^{\circ} = -\frac{\sqrt{3}}{2}l\varepsilon + l\varepsilon \frac{\sqrt{3}}{2} = 0.$$

$$a_C = 0.$$

Замечание 1. То, что точка C является мгновенным центром ускорений звена AC , следует также из соображений центральной симметрии: если рисунок, содержащий звено AB и векторы ускорений его концов повернуть на 180° вокруг C , то этот рисунок совпадет с исходным.

Замечание 2. Можно было также спроецировать (7) на наклонную ось x_1 , сонаправленную $\bar{a}_{C/A}^{\tau}$, предварительно установив для \bar{a}_A , что $a_A = l\varepsilon$ и $\bar{a}_A \uparrow \downarrow x_1$. Тогда

$$a_C = a_{Cx_1} = -l\varepsilon + l\varepsilon = 0.$$

Ответ. $v_C = l\sqrt{\frac{\sqrt{3}}{2}}\varepsilon$. $a_C = 0$.

Решение задачи K2.

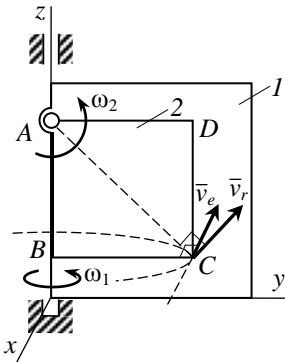


Рис. 7

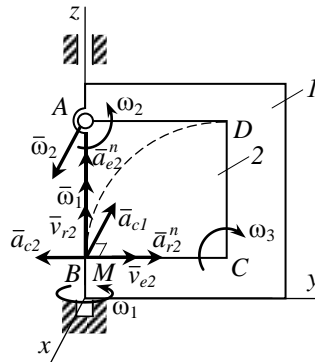


Рис. 8

1). Положение пластин в момент $t=0$ показано на рис. 7. Покажем, что искомой точкой является точка C . Движение любой точки M пластины 2 (в том числе и C) рассмотрим как сложное. Относительное движение свяжем с вращением точки M вместе с пластиной 2 вокруг шарнира A , при этом относительная скорость $\vec{v}_r \perp AM$, \vec{v}_r лежит в плоскости пластины 1. Переносное движение свяжем с вращением точки M вместе с пластиной 1 вокруг оси z , при этом переносная скорость $\vec{v}_e \perp ABCD$. (На рисунке направления этих векторов указаны для точки C .) Абсолютная скорость точки M равна $\vec{v}_M = \vec{v}_e + \vec{v}_r$. Так как $\vec{v}_e \perp \vec{v}_r$, то

$$v_M = \sqrt{v_e^2 + v_r^2}. \quad (1)$$

Для точки C :

$$v_e = BC \cdot \omega_1 = R\omega_1.$$

$$v_r = AC \cdot \omega_2 = \sqrt{2}R\omega_2.$$

Это максимально возможные значения, которые могут принимать для различных точек M величины v_e и v_r , соответственно. Поэтому из (1) следует, что v_M максимальна в случае точки C . При этом

$$v_C = R\sqrt{\omega_1^2 + 2\omega_2^2}. \quad (2)$$

2). *1 способ.* Движение точки M рассмотрим как сложное движение (будем называть его 1-м), «внутри» которого происходит другое сложное движение (2-е) (рис. 8).

При 1-м сложном движении 1-е переносное движение M связано с поворотом пластины 1, а 1-е относительное движение – движение M относительно пластины 1. При этом 1-е относительное движение в свою очередь является 2-м сложным движением: 2-е переносное движение M связано с поворотом M вместе с пластиной 2 в плоскости пластины 1, а 2-е относительное движение – движение M по каналу BD относительно пластины 2.

По теореме о сложении ускорений при 1-м сложном движении:

$$\vec{a}_M = \vec{a}_{a,1} = \vec{a}_{e,1} + \vec{a}_{r,1} + \vec{a}_{c,1}. \quad (3)$$

В (3) 1-е переносное ускорение, так как расстояние от M до оси z

равно нулю:

$$\bar{a}_{e,1} = 0. \quad (4)$$

В (3) 1-е относительное ускорение равно 2-му абсолютному ускорению:

$$\bar{a}_{r,1} = \bar{a}_{a,2} = \bar{a}_{e,2} + \bar{a}_{r,2} + \bar{a}_{c,2}. \quad (5)$$

В (5) 2-е переносное ускорение:

$$\bar{a}_{e,2} = \bar{a}_{e,2}^{\tau} + \bar{a}_{e,2}^n. \quad (6)$$

В (6) тангенциальная компонента:

$$a_{e,2}^{\tau} = MA \cdot \ddot{\phi}_2 = 0. \quad (7)$$

В (6) нормальная компонента: $\bar{a}_{e,2}^n \uparrow \uparrow \overline{MA}$ и

$$a_{e,2}^n = MA \cdot \omega_2^2 = R\omega_2^2. \quad (8)$$

В (5) 2-е относительное ускорение:

$$\bar{a}_{r,2} = \bar{a}_{r,2}^{\tau} + \bar{a}_{r,2}^n. \quad (9)$$

В (9) тангенциальная компонента:

$$a_{r,2}^{\tau} = R\ddot{\phi}_3 = 0. \quad (10)$$

1-я относительная скорость:

$$\bar{v}_{r,1} = \bar{v}_{a,2} = \bar{v}_{e,2} + \bar{v}_{r,2}. \quad (11)$$

$$v_{e,2} = MA \cdot \omega_2 = R\omega_2. \quad (12)$$

$$v_{r,2} = R\omega_3. \quad (13)$$

Тогда в (9) нормальной компонента: $a_{r,2}^n \uparrow \uparrow \overline{MC}$ и, с учетом (13):

$$a_{r,2}^n = \frac{v_{r,2}^2}{MC} = R\omega_3^2. \quad (14)$$

В (5) 2-е ускорение Кориолиса: $\bar{a}_{c,2} = 2\bar{\omega}_2 \times \bar{v}_{r,2}$. Направление $\bar{a}_{c,2}$ получаем поворотом $\bar{v}_{r,2}$ на 90° в плоскости пластины 2 в направлении ω_2 . Его величина с учетом (12):

$$a_{c,2} = 2\omega_2 v_{r,2} = 2\omega_2 \cdot R\omega_3 = 2R\omega_2\omega_3. \quad (15)$$

Наконец, в (3) 1-е ускорение Кориолиса с учетом (11):

$$\bar{a}_{c,1} = 2\bar{\omega}_1 \times \bar{v}_{r,1}.$$

$$\bar{a}_{c,1} = 2\bar{\omega}_1 \times \bar{v}_{e,2} + 2\bar{\omega}_1 \times \bar{v}_{r,2} = 2\bar{\omega}_1 \times \bar{v}_{e,2}.$$

Здесь было учтено $2\bar{\omega}_1 \times \bar{v}_{r,2} = 0$ вследствие $\bar{\omega}_1 \uparrow \uparrow \bar{v}_{r,2}$. $\bar{a}_{c,1}$ получается поворотом $\bar{v}_{r,2}$ на 90° в плоскости xu в направлении ω_1 .

С учетом (12) получим:

$$a_{c,1} = 2\omega_1 v_{e,2} = 2R\omega_1\omega_2. \quad (16)$$

Итак, из (3) и с учетом (4)-(16) получим:

$$\bar{a}_M = \bar{a}_{e,2}^n + \bar{a}_{r,2}^n + \bar{a}_{c,2} + \bar{a}_{c,1}. \quad (17)$$

Проецируем на оси координат:

$$a_{M,x} = -a_{c,1} = -2R\omega_1\omega_2. \quad (18)$$

$$a_{M,y} = a_{r,2} - a_{c,2} = R\omega_3^2 - 2R\omega_2\omega_3. \quad (19)$$

$$a_{M,z} = a_{e,2}^n = R\omega_2^2. \quad (20)$$

$$a_M = R\sqrt{4\omega_1^2\omega_2^2 + (\omega_3^2 - 2\omega_2\omega_3)^2 + \omega_2^4}. \quad (21)$$

Отметим, что строгое рассуждение позволяет учесть вклад «наименее заметной» компоненты, а именно $a_{c,2} = 2R\omega_2\omega_3$.

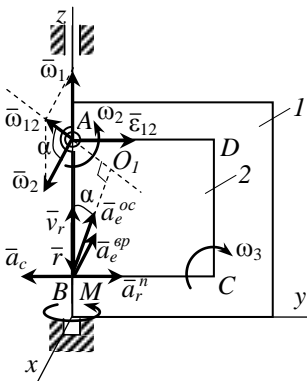


Рис. 9

2-й способ.

Движение пластины 2 рассмотрим как результат сложения двух вращений вокруг точки A с угловыми скоростями $\bar{\omega}_1$ и $\bar{\omega}_2$ (рис. 9). При этом угловая скорость пластины 2:

$$\bar{\omega}_{12} = \bar{\omega}_1 + \bar{\omega}_2.$$

Движение точки M при таком вращении – переносное движение, т.е. $\bar{\omega}_e = \bar{\omega}_{12}$. Движение точки M относительно пластины 2 – относительное движение. По теореме

о сложении ускорений при сложном движении:

$$\bar{a}_M = \bar{a}_a = \bar{a}_e + \bar{a}_r + \bar{a}_c. \quad (22)$$

Здесь переносное ускорение \bar{a}_e определяем по известной формуле для вращения вокруг неподвижной точки, в данном случае вокруг A :

$$\bar{a}_e = \bar{a}_e^{ep} + \bar{a}_e^{oc} = \bar{\varepsilon}_e \times \bar{r} + \bar{\omega}_e \times (\bar{\omega}_e \times \bar{r}). \quad (23)$$

Здесь $\bar{r} = \overline{AM}$. Мгновенной осью вращения пластины 2 является прямая, проходящая через A вдоль вектора $\bar{\omega}_{12}$. Это вектор располагается в плоскости xz под углом α к оси x . При этом

$$\cos \alpha = \frac{\omega_2}{\omega_{12}}.$$

Осестремительная компонента переносного ускорения \bar{a}_e^{oc} перпендикулярна этой оси и направлена к точке O_1 на этой оси. При этом

$$a_e^{oc} = O_1M \cdot \omega_{12}^2. \quad (24)$$

Здесь

$$O_1M = MA \cdot \cos \alpha = R \cos \alpha. \quad (25)$$

$$\omega_{12}^2 = \omega_1^2 + \omega_2^2. \quad (26)$$

В дальнейшем при проецировании \bar{a}_e^{oc} на оси координат с учетом (24)-(25):

$$\omega_1 = \omega_{12} \sin \alpha, \quad \sin \alpha = \frac{\omega_1}{\omega_{12}}.$$

$$\omega_2 = \omega_{12} \cos \alpha, \quad \cos \alpha = \frac{\omega_2}{\omega_{12}}.$$

$$O_1M = R \frac{\omega_2}{\omega_{12}} = \frac{R \omega_2}{\sqrt{\omega_1^2 + \omega_2^2}}.$$

$$a_e^{oc} = O_1M \cdot \omega_{12}^2 = R \omega_2 \sqrt{\omega_1^2 + \omega_2^2}.$$

$$\left(\bar{a}_e^{oc}\right)_x = -a_e^{oc} \sin \alpha = -R \omega_2 \sqrt{\omega_1^2 + \omega_2^2} \cdot \frac{\omega_1}{\sqrt{\omega_1^2 + \omega_2^2}} = -R \omega_1 \omega_2. \quad (27)$$

$$\left(\bar{a}_e^{oc}\right)_z = a_e^{oc} \cos \alpha = R \omega_2 \sqrt{\omega_1^2 + \omega_2^2} \cdot \frac{\omega_2}{\sqrt{\omega_1^2 + \omega_2^2}} = R \omega_2^2. \quad (28)$$

Далее, известно, что при сложении двух вращений твердого тела вокруг пересекающихся осей возникает добавочное угловое ускорение (см., например, Тарг С.М. Краткий курс теоретической механики. Изд-е 14-е, 2004 г., стр. 176):

$$\bar{\varepsilon}_e = \bar{\varepsilon}_{12} = \frac{d\bar{\omega}_1}{dt} + \frac{d\bar{\omega}_2}{dt} + \bar{\omega}_1 \times \bar{\omega}_2. \quad (27)$$

Так как угловые скорости постоянны, то

$$\frac{d\bar{\omega}_1}{dt} = 0, \quad \frac{d\bar{\omega}_2}{dt} = 0.$$

Таким образом, из (27):

$$\bar{\varepsilon}_e = \bar{\varepsilon}_{12} = \bar{\omega}_1 \times \bar{\omega}_2. \quad (28)$$

Вращательная компонента переносного ускорения:

$$\bar{a}_e^{ep} = \bar{\varepsilon}_{12} \times \bar{r}. \quad (29)$$

$$a_e^{ep} = R\varepsilon_{12} = R\omega_1\omega_2. \quad (30)$$

Относительное ускорение получаем так же как и для 2-го относительного движения в 1-м способе:

$$\bar{a}_r = \bar{a}_r^n. \quad (31)$$

$$a_r = \frac{v_r^2}{R} = \frac{(R\omega_3)^2}{R} = R\omega_3^2. \quad (32)$$

Ускорение Кориолиса:

$$\bar{a}_c = 2\bar{\omega}_{12} \times \bar{v}_r = 2\bar{\omega}_1 \times \bar{v}_r + 2\bar{\omega}_2 \times \bar{v}_r = 2\bar{\omega}_2 \times \bar{v}_r. \quad (33)$$

$$a_c = 2\omega_2 v_r = 2R\omega_2\omega_3. \quad (34)$$

Итак, (22) имеет вид:

$$\bar{a}_M = \bar{a}_e^{ep} + \bar{a}_e^{oc} + \bar{a}_r^n + \bar{a}_c. \quad (35)$$

Проецируем (35) на оси координат, учитывая (29), (30), (27), (31), (32), (33), (34), (28):

$$a_{M,x} = -a_e^{ep} + (\bar{a}_e^{oc})_x = -R\omega_1\omega_2 - R\omega_1\omega_2 = -2R\omega_1\omega_2.$$

$$a_{M,y} = a_r^n - a_c = R\omega_3^2 - 2R\omega_2\omega_3.$$

$$a_{M,z} = (\bar{a}_e^{oc})_z = R\omega_2^2.$$

Эти проекции совпадают с (18)-(20). Далее получаем ответ (21).

3 способ. Аналитический метод в данной задаче иррационален. Получаются весьма громоздкие выражения, аналитически дифференцировать которые весьма затруднительно. Тем не менее, его можно использовать в качестве проверки первых двух способов, проводя в конце численное дифференцирование на компьютере. Для различных значений угловых скоростей при этом получаются ответы, совпадающие с ответами из аналитических решений.

Вкратце приведем основные соотношения. Обозначим для произвольного момента времени: $d = BM$, $r = AM$, $\alpha = \angle BAM$, $\beta = \angle ABM$; y_1 – подвижная ось, связанная с пластиной 1, в начальный момент совпадающая с y . Тогда

$$\beta = \frac{\varphi_3}{2}.$$

$$\frac{d}{2} = R \sin \beta.$$

$$r = \sqrt{R^2 + d^2 - 2Rd \cos \beta}.$$

$$\cos \alpha = \frac{R^2 + r^2 - d^2}{2Rr}.$$

$$\sin \alpha = \frac{d}{r} \sin \beta.$$

$$y_1 = r \sin(\varphi_2 + \alpha) = r(\sin \varphi_2 \cos \alpha + \cos \varphi_2 \sin \alpha).$$

$$z = OA - r \cos(\varphi_2 + \alpha).$$

С учетом этого координаты точки M :

$$x = -y_1 \sin \varphi_1.$$

$$y = y_1 \cos \varphi_1.$$

$$z = z_A - r(\cos \varphi_2 \cos \alpha - \sin \varphi_2 \sin \alpha).$$

Ответ. 1). В точке C , $v_C = R\sqrt{\omega_1^2 + 2\omega_2^2}$.

2). $a_M = R\sqrt{4\omega_1^2\omega_2^2 + (\omega_3^2 - 2\omega_2\omega_3)^2} + \omega_2^4$.

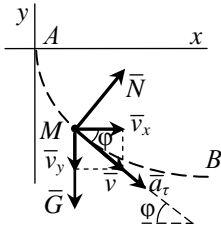


Рис. 10

Решение задачи Д1.

1). Скорость точки M (рис. 10):

$$v = \dot{s} = \frac{g}{k} \sin kt. \quad (1)$$

Так как $\dot{s}(0) = 0$, точка M вначале была в покое.

По теореме об изменении кинетической энергии материальной точки:

$$\frac{mv^2}{2} - \frac{mv_A^2}{2} = A_G.$$

$$\frac{mv^2}{2} = mg|y|.$$

$$|y| = \frac{v^2}{2g}. \quad (2)$$

Из (1), (2) при $t = \frac{\pi}{6k}$:

$$v = \frac{g}{k} \sin \frac{\pi}{6} = \frac{g}{2k}.$$

$$|y| = \left(\frac{g}{2k}\right)^2 \cdot \frac{1}{2g} = \frac{g}{8k^2}.$$

Так как при этом $y < 0$, то:

$$y = -\frac{g}{8k^2}.$$

2). Дифференциальное уравнение движения точки M в проекции на касательную ось τ :

$$ma_\tau = mg \sin \varphi. \quad (3)$$

Здесь тангенциальное ускорение:

$$a_\tau = \ddot{s} = \frac{g}{k^2} (k^2 \cos kt) = g \cos kt. \quad (4)$$

Учитываем (4) в (3):

$$\cos kt = \sin \varphi. \quad (5)$$

В течение всего движения от положения A до B угол φ монотонно убывает от $\frac{\pi}{2}$ до 0 . При этом, как следует из (3), a_τ монотонно убывает от значения g до 0 . Тогда из (4): $\cos kt$ убывает от 1 до 0 . Поэтому в (5) оба аргумента тригонометрических функций находятся в 1-й четверти и выполняется:

$$\cos \varphi = \sin kt. \quad (6)$$

Для скорости точки M :

$$\vec{v} = \vec{v}_x + \vec{v}_y.$$

$$v_x = v \cos \varphi.$$

С учетом $v_x = \frac{dx}{dt}$, $v = \frac{ds}{dt}$:

$$dx = ds \cos \varphi.$$

Учитывая (6):

$$dx = \sin kt ds. \quad (7)$$

Используя закон движения точки M вдоль траектории $s(t)$:

$$ds = \dot{s} dt = \frac{g}{k^2} k \sin kt dt = \frac{g}{k} \sin kt dt. \quad (8)$$

Подставляем (8) в (7) и затем интегрируем:

$$dx = \frac{g}{k} \sin^2 kt dt = \frac{g}{k} \left(\frac{1 - \cos 2kt}{2} \right) dt.$$

$$\int_0^x dx = \frac{g}{2k} \int_0^t (1 - \cos 2kt) dt.$$

$$x = \frac{g}{2k} \left(t - \frac{\sin 2kt}{2k} \right) \Big|_0^t.$$

$$x = \frac{g}{2k} \left(t - \frac{\sin 2kt}{2k} \right). \quad (9)$$

Для положения B : $\varphi = 0$. Тогда из (5): $\cos kt = 0$, $kt = \frac{\pi}{2}$. Таким образом, M оказывается в нижнем положении в момент времени:

$$t_1 = \frac{\pi}{2k}. \quad (10)$$

Тогда из (9):

$$x(t_1) = \frac{g}{2k} \left(\frac{\pi}{2k} - \frac{1}{2k} \sin(2k \cdot \pi / 2k) \right) = \frac{\pi g}{4k^2}.$$

Замечание 1. Для определения момента t_1 возможно другое рассуждение. С учетом $dy < 0$, (5), (8):

$$dy = -ds \sin \varphi.$$

$$dy = -\frac{g}{k} \sin kt \, dt \cdot \cos kt = -\frac{g}{2k} \sin 2kt \, dt. \quad (11)$$

Для точки B: $v_y = 0$, то есть $\frac{dy}{dt} = 0$. Тогда

$$-\frac{g}{2k} \sin 2kt = 0.$$

Отсюда $t = 0$ или $2kt = \pi$. Из второго равенства получаем (10).

Замечание 2. Интегрируя (11), можно дополнительно установить:

$$y = \frac{g}{4k^2} (\cos 2kt - 1).$$

$$y_1 = -\frac{g}{2k^2}.$$

При этом $s(t_1) = \frac{g}{k^2}$. Можно проверить, что $s(t_1) > \sqrt{(x(t_1))^2 + (y(t_1))^2}$,

как и должно быть.

Ответ. 1). $y = -\frac{g}{8k^2}$. 2). $x_B = \frac{\pi g}{4k^2}$.

Решение задачи Д2.

Момент сил сопротивления: $M_{\text{сопр}} = \mu \omega^2$. Дифференциальное уравнение вращения ротора:

$$J_z \frac{d\omega}{dt} = -\mu\omega^2. \quad (1)$$

Разделяем переменные ω и t и интегрируем:

$$-\frac{J_z}{\mu} \int \frac{d\omega}{\omega^2} = \int dt.$$

$$\frac{J_z}{\mu} \cdot \frac{1}{\omega} = t + C.$$

При $t = 0$: $\frac{J_z}{\mu} \cdot \frac{1}{\omega_0} = C$. После подстановки значения C получаем:

$$t = \frac{J_z}{\mu} \cdot \frac{\omega_0 - \omega}{\omega\omega_0}. \quad (2)$$

В некоторый момент времени t_1 : $\omega_1 = \omega_0/k$. Из (2):

$$t_1 = (k-1) \frac{J_z}{\mu\omega_0}. \quad (3)$$

В момент $t_2 = 2t_1$: $\omega_2 = \omega_0/k_2$. Из (2):

$$2t_1 = (k_2-1) \frac{J_z}{\mu\omega_0}. \quad (4)$$

Делим (4) на (3): $2 = \frac{k_2-1}{k-1}$, откуда $k_2 = 2k-1$,

$$\omega_2 = \frac{\omega_0}{2k-1}.$$

Замечание. Теорема об изменении кинетической энергии системы напрямую не дает решения задачи, так как в её записи, во-первых, не фигурирует время, а, во-вторых, заранее невозможно вычислить работу момента сил сопротивления (интеграл $\int \omega^2 d\varphi$ нельзя вычислить, не зная зависимости $\omega = \omega(\varphi)$).

Однако, если эту теорему продифференцировать по времени и сократить $\dot{\varphi}$, то придем к ДУ вращательного движения (1).

Ответ. $\omega_2 = \frac{\omega_0}{2k-1}.$

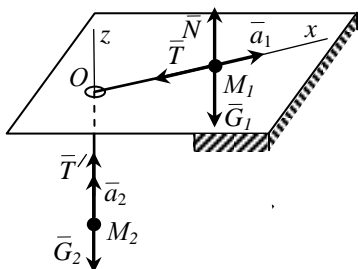


Рис. 11

Решение задачи ДЗ.

1). Обозначим через T силу натяжения нити (рис. 11). Дифференциальные уравнения движения точек M_1 и M_2 в проекциях на координатные оси, вдоль которых они движутся:

$$m_1 a_{1x} = -T. \quad (1)$$

$$m_2 a_{2z} = T' - m_2 g. \quad (2)$$

Так как нить нерастяжима, то $a_{1x} = a_{2z}$. Так как трением

пренебрегаем, то $T = T'$. Тогда, исключив T из (1), (2), получим:

$$a_{1x} = -\frac{m_2}{m_1 + m_2} g. \quad (3)$$

Так как $a_{1x} < 0$, то v_{1x} будет убывать со временем. Поэтому искомый момент времени t_1 реализуется при $v_{1x} = -v_0$. Учитываем

$a_{1x} = \frac{dv_{1x}}{dt}$ в (3) и интегрируем на всем промежутке движения:

$$\int_{v_0}^{-v_0} dv_{1x} = -\frac{m_2}{m_1 + m_2} g \int_0^{t_1} dt.$$

$$-2v_0 = -\frac{m_2}{m_1 + m_2} g t_1.$$

$$t_1 = \frac{2(m_1 + m_2)v_0}{m_2 g}.$$

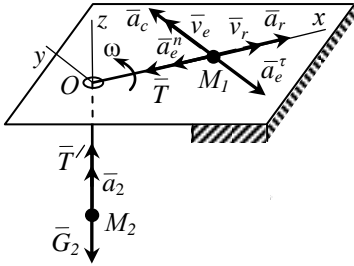


Рис. 12

момента. С учетом $v = h\omega$ получим:

$$\omega = \frac{v_0 h_0}{h^2}. \quad (4)$$

Дифференциальное уравнение движения точки M_2 имеет вид (2), откуда:

$$T = m_2 a_{2z} + m_2 g. \quad (5)$$

Движение точки M_1 рассмотрим как сложное: относительное движение свяжем с движением M_1 вдоль оси Ox , а переносное движение – с вращением M_1 вместе с подвижной осью Ox вокруг Oz .

При абсолютном движении M_1 :

$$\begin{aligned} \vec{v}_1 &= \vec{v}_e + \vec{v}_r. \\ \vec{a}_1 &= \vec{a}_e^\tau + \vec{a}_e^n + \vec{a}_r + \vec{a}_c. \end{aligned}$$

Дифференциальное уравнение движения точки M_1 вдоль Ox :

$$m_1 (a_{rx} - a_e^n) = -T. \quad (6)$$

Здесь нормальная компонента переносного ускорения:

$$a_e^n = h\omega^2 = h \cdot \frac{v_0^2 h_0^2}{h^4} = \frac{v_0^2 h_0^2}{h^3}. \quad (7)$$

Учтем (5), (7) в (6):

$$m_1 \left(a_{rx} - \frac{v_0^2 h_0^2}{h^3} \right) = -m_2 a_2 - m_2 g.$$

2). Так как для сил, действующих на точку M_1 , очевидно, все время выполняется $\sum_k M_{Oz}(\vec{F}_k^e) = 0$, то момент количества её движения $k_z = const$ (рис. 12). Отсюда

$$m_1 v_0 \cdot h_0 = m_1 v \cdot h.$$

$$v = \frac{v_0 h_0}{h},$$

где $h = OM_1$ в произвольный

Так как $a_{rx} = a_{2z}$, то

$$(m_1 + m_2) a_r = \frac{m_1 v_0^2 h_0^2}{h^3} - m_2 g .$$

Далее интегрируем это ДУ:

$$a_r = \frac{dv_r}{dt} = v_r \frac{dv_r}{dh} .$$

$$(m_1 + m_2) \int_0^{v_r} v_r dv_r = \int_{h_0}^h \left(\frac{m_1 v_0^2 h_0^2}{h^3} - m_2 g \right) dh .$$

$$(m_1 + m_2) \frac{v_r^2}{2} = m_1 v_0^2 h_0^2 \left(-\frac{1}{2h^2} + \frac{1}{2h_0^2} \right) - m_2 g (h - h_0) . \quad (8)$$

Условие перпендикулярности \bar{v}_1 участку OM_1 означает, что в этот момент: $v_r = 0$. При этом из (8):

$$-\frac{m_1 v_0^2 (h_0^2 - h^2)}{2h^2} = m_2 g (h - h_0) .$$

Тривиальный случай, когда это выполняется, соответствует $h = h_0$, что реализуется, в частности, в начальный момент времени. При $h \neq h_0$, с учетом $h^2 - h_0^2 = (h - h_0)(h + h_0)$, получим:

$$\frac{m_1 v_0^2 (h + h_0)}{2h^2} = m_2 g .$$

$$\frac{m_1 v_0^2}{2m_2 g} (h + h_0) = h^2 .$$

Получаем квадратное уравнение относительно h :

$$\frac{k}{2} h^2 - h - h_0 = 0 , \quad (9)$$

где для удобства ввели обозначение для коэффициента:

$$\frac{2m_2 g}{m_1 v_0^2} = \frac{k}{2} .$$

Решаем квадратное уравнение (9):

$$D = \sqrt{1 + 4(k/2)h_0}.$$

С учетом $h \geq 0$ получим один ответ:

$$h = \frac{1 + \sqrt{1 + 2kh_0}}{k}.$$

где

$$k = \frac{4m_2g}{m_1v_0^2}.$$

Замечание 1.

Получить (4) можно было, интегрируя ДУ движения M_1 в проекции на подвижную ось Oy :

$$\begin{aligned} m(a_c + a_{e,y}^{\tau}) &= 0. \\ 2\omega \frac{dh}{dt} &= -\frac{d\omega}{dt} h. \\ -2 \int_{h_0}^h \frac{dh}{h} &= \int_{\omega_0}^{\omega} \frac{d\omega}{\omega}. \\ -2 \ln \frac{h}{h_0} &= \ln \frac{\omega}{\omega_0}. \\ \frac{h_0^2}{h^2} &= \frac{\omega}{\omega_0}. \\ \omega &= \frac{v_0 h_0}{h^2}. \end{aligned}$$

Замечание 2. Можно было не интегрировать ДУ движения, а сразу записать теорему об изменении кинетической энергии для системы из двух материальных точек. Получим соотношение (8). Требование задачи выполняется при учете $v_2 = v_{1r} = 0$.

Замечание 3. Интересно отметить, что задача имеет решение при любом ненулевом значении отношения m_2/m_1 . В том числе и в случаях, когда отношение этих масс очень велико («пушинка» M_1 не

позволяет «гире» M_2 безвозвратно упасть вниз) или очень мало («пушинка» M_2 не позволяет «гире» M_1 безвозвратно уйти по плоскости от точки O). Такой результат объясняется тем, что в данной постановке задачи не учитывалось трение. Это позволяет, в частности, «пушинке» M_1 при малых h вращаться вокруг оси Oz с очень высокой угловой скоростью, создавая значение центробежной силы инерции, необходимое для удержания «гири» M_2 .

Ответ. 1). $t_1 = \frac{2(m_1 + m_2)v_0}{m_2g}$. 2). $h = \frac{1 + \sqrt{1 + 2kh_0}}{k}$, где $k = \frac{4m_2g}{m_1v_0^2}$.

Решение задачи Д4.

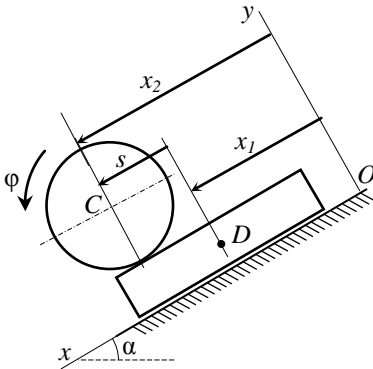


Рис. 13

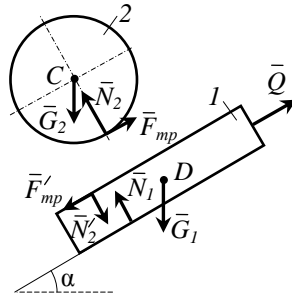


Рис. 14

Введем неподвижную систему координат Oxy (рис. 13). Введем обозначения: x_1 – координата центра тяжести D платформы 1, x_2 – координата центра тяжести C диска 2, s – перемещение C относительно D вдоль x , φ – угол поворота диска 2. Тогда

$$x_2 = x_1 + s. \tag{1}$$

Укажем силы, действующие на каждое из тел 1 и 2 (рис. 14).

В предположении, что платформа совершает поступательное

движение вдоль плоскости (условие её опрокидывания рассматривается отдельно во второй части решения), запишем ДУ её движения:

$$m_1 \ddot{x}_1 = F_{mp} + G_1 \sin \alpha - Q. \quad (2)$$

При этом ДУ плоскопараллельного движения диска:

$$m_2 \ddot{x}_2 = -F_{mp} + G_2 \sin \alpha. \quad (3)$$

$$0 = N_2 - G_2 \cos \alpha. \quad (4)$$

$$J_{Cz} \ddot{\phi} = F_{mp} \cdot R. \quad (5)$$

Выражаем из (3):

$$F_{mp} = G_2 \sin \alpha - m_2 \ddot{x}_2. \quad (6)$$

Из (2):

$$F_{mp} = m_1 \ddot{x}_1 - G_1 \sin \alpha + Q. \quad (7)$$

Приравнявая (6) и (7), с учетом (1) получаем:

$$(m_1 + m_2) \ddot{x}_1 + m_2 \ddot{s} = (m_1 + m_2) g \sin \alpha - Q. \quad (8)$$

Далее рассматриваем два случая в зависимости от того, не проскальзывает или проскальзывает диск относительно платформы.

а). Условия непроскальзывания: $F_{mp} \leq f N_2$, $\ddot{s} = R \ddot{\phi}$.

Тогда выразим из (5):

$$F_{mp} = \frac{1}{2} m_2 R \cdot \frac{\ddot{s}}{R} = \frac{1}{2} m_2 \ddot{s}. \quad (9)$$

Учтем это в (7):

$$\frac{1}{2} m_2 \ddot{s} = m_1 \ddot{x}_1 - G_1 \sin \alpha + Q.$$

$$\ddot{x}_1 = \frac{m_2}{2m_1} \ddot{s} + g \sin \alpha - \frac{Q}{m_1}. \quad (10)$$

Подставим (10) в (8):

$$(m_1 + m_2) \left(\frac{m_2}{2m_1} \ddot{s} + g \sin \alpha - \frac{Q}{m_1} \right) + m_2 \ddot{s} = (m_1 + m_2) g \sin \alpha - Q.$$

$$((m_1 + m_2)m_2 + 2m_1 m_2) \ddot{s} = 2m_2 Q.$$

$$\ddot{s} = \frac{2Q}{3m_1 + m_2}. \quad (11)$$

Выясним условие, которому должно удовлетворять значение Q для нероскальзывания. Для этого учтем (11) в (9):

$$F_{mp} = \frac{m_2}{3m_1 + m_2} Q \leq fN_2. \quad (12)$$

Из (4):

$$N_2 = m_2 g \cos \alpha.$$

Тогда из (12):

$$Q \leq f(3m_1 + m_2)g \cos \alpha. \quad (13)$$

ДУ (11) имеет вид $\ddot{s} = a$, где a – константа. Поэтому при нулевых начальных условиях: $s = at^2/2$. Так как $a > 0$, то в процессе движения $s > 0$. В искомый момент времени, когда диск переместится до левого края платформы: $s = l$. Тогда из (11):

$$t_1 = \sqrt{\frac{2l}{a}} = \sqrt{\frac{(3m_1 + m_2)l}{Q}}. \quad (14)$$

б). Условия проскальзывания: $F_{mp} = fN_2$, $\ddot{s} > R\ddot{\phi}$.

Тогда из (7) с учетом (4):

$$\begin{aligned} fm_2 g \cos \alpha &= m_1 \ddot{x}_1 - G_1 \sin \alpha + Q, \\ \ddot{x}_1 &= \frac{fm_2 \cos \alpha}{m_1} g + g \sin \alpha - \frac{Q}{m_1}. \end{aligned} \quad (15)$$

Учтем (15) в (8):

$$\begin{aligned} (m_1 + m_2) \left(\frac{fm_2 \cos \alpha}{m_1} g + g \sin \alpha - \frac{Q}{m_1} \right) + m_2 \ddot{s} &= (m_1 + m_2)g \sin \alpha - Q, \\ \ddot{s} &= \frac{1}{m_1} (Q - f(m_1 + m_2)g \cos \alpha). \end{aligned} \quad (16)$$

Случай проскальзывания реализуется при невыполнении (13), если:

$$Q > f(3m_1 + m_2)g \cos \alpha. \quad (17)$$

Поэтому видно, что в (16) $\ddot{s} > 0$. Аналогично тому, как было получено (14), найдем из (16):

$$t_1 = \sqrt{\frac{2m_1 l}{Q - f(m_1 + m_2)g \cos \alpha}}. \quad (18)$$

Итак, ответом на первый вопрос задачи будет (14) при условии (13) и (18) при условии (17).

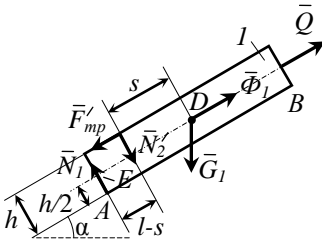


Рис. 15

Рассматриваемое перемещение не сможет реализоваться, если платформа в какой-то момент движения начнет опрокидываться, то есть поворачиваться относительно одной из своих нижних угловых точек.

При опрокидывании относительно угловой точки A сила реакции \bar{N}_1 приложена к этой точке (рис. 15).

Введем силу инерции $\bar{\Phi}_1 = -m_1 \bar{a}_1$. Запишем следствие из принципа Даламбера для платформы. При этом в качестве моментной точки удобнее всего выбрать неподвижную точку E , положение которой в данный момент времени совпадает с точкой пересечения линии действия силы $\bar{\Phi}_1$ с левой боковой стороной платформы. (В качестве моментной точки удобно также выбрать подвижный центр масс D .) Опрокидывание при некотором s , $0 \leq s \leq l$, будет, если

$$\sum_k M_E(\bar{F}_k) + M_E(\bar{\Phi}_1) > 0.$$

С учетом упрощений $M_E(\bar{N}_1) = M_E(\bar{\Phi}_1) = M_E(\bar{Q}) = 0$, получим:

$$F_{mp} \frac{h}{2} - N_2(l-s) - G_1 \cos \alpha \cdot l > 0. \quad (19)$$

Выражение в левой части (19) максимально при $-N_2(l-s) = 0$, то есть при $s = l$. Достаточно рассмотреть этот крайний случай (если при этом (19) не будет выполняться, то при меньших значениях s тем более не будет):

$$F_{mp} \frac{h}{2} - G_1 \cos \alpha \cdot l > 0. \quad (20)$$

Вновь рассмотрим два случая.

а). Если нет проскальзывания, то учитывая выражения (9) и (11) в (20), получим:

$$\frac{m_2}{2} \cdot \frac{2Q}{3m_1 + m_2} \cdot \frac{h}{2} > m_1 g l \cos \alpha \cdot l.$$

$$h > \frac{2m_1(3m_1 + m_2)gl \cos \alpha}{m_2 Q}.$$

Напротив, опрокидывания не будет при

$$h \leq \frac{2m_1(3m_1 + m_2)gl \cos \alpha}{m_2 Q}. \quad (21)$$

б). При проскальзывании учтем $F_{mp} = fm_2 g \cos \alpha$ в (20):

$$fm_2 g \cos \alpha \cdot \frac{h}{2} - G_1 \cos \alpha \cdot l > 0$$

$$h > \frac{2m_1 l}{fm_2}.$$

Напротив, опрокидывания не будет при

$$h \leq \frac{2m_1 l}{fm_2}. \quad (22)$$

Очевидно из физических соображений, что опрокидывание не произойдет вокруг другой нижней угловой точки B платформы. Условие такого опрокидывания было бы:

$$\sum_k M_D(\overline{F}_k) + M_D(\overline{\Phi}_1) < 0, \quad (23)$$

где сила реакции \overline{N}_1 приложена к B . Однако моменты всех сил в левой части (23) положительны. Значит, опрокидывания вокруг B быть не может.

Замечание. Можно проверить, что при подстановке крайнего для обоих случаев a и b значения $Q = f(3m_1 + m_2)g \cos \alpha$ в оба выражения для t_1 и для h соответствующие ответы совпадают.

Ответ. При $0 < Q \leq f(3m_1 + m_2)g \cos \alpha$ $t_1 = \sqrt{\frac{(3m_1 + m_2)l}{Q}}$,

при условии $h \leq \frac{2m_1(3m_1 + m_2)gl \cos \alpha}{m_2 Q}$.

При $Q > f(3m_1 + m_2)g \cos \alpha$ $t_1 = \sqrt{\frac{2m_1 l}{Q - f(m_1 + m_2)g \cos \alpha}}$,

при условии $h \leq \frac{2m_1 l}{f m_2}$.